

第十一讲

上次课

● 本征函数展开法:

(1) $\nabla^2\varphi=0$ 有一系列正交完备的解 - 本征函数 $\{\varphi_n\}$

(2) 完备性 --- $\varphi = \sum_n c_n \varphi_n$

(3) 展开系数: $c_n = \langle \varphi_n | \varphi \rangle$, 根据正交性比较不同本征函数前的系数

[例 5] 半径为 R 、介电常数为 ε_2 的均匀介质球, 被置于均匀外场 \vec{E}_0 中, 球外空间充满均匀介电常数为 ε_1 的介质。求空间电势的分布。

解: 如图 4.6, 取 \vec{E}_0 方向为极轴 z 方向, 这个问题是绕 z 轴旋转对称, 为此我们把球分成内外两个区域, 分别写出它们的方程和边界条件。令球外、内空间分别为区域 I、II, 电势分别为 φ_1, φ_2 则 φ_1, φ_2 满足方程

$$\nabla^2\varphi_1=0, \quad \nabla^2\varphi_2=0 \quad (4.4.18)$$

相应的边条为

$$\begin{cases} \varphi_1 \rightarrow -E_0 r \cos \theta, & r \rightarrow \infty & (1) \\ \varphi_1 = \varphi_2, & r = R & (2) \\ \varepsilon_1 \frac{\partial \varphi_1}{\partial r} \Big|_{r=R} = \varepsilon_2 \frac{\partial \varphi_2}{\partial r} \Big|_{r=R} & & (3) \\ \varphi_2 \text{ 有限, } & r = 0 & (4) \end{cases}$$

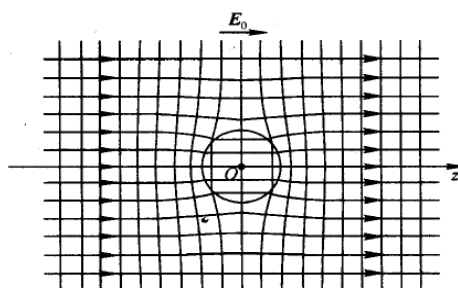


图 4.6

本问题为轴对称问题, 可将 φ_1, φ_2 展开成 Laplace 方程本征函数的线性叠加, 即

$$\begin{aligned}\varphi_1 &= \sum_{l=0}^{\infty} [A_l r^l + B_l r^{-(l+1)}] P_l(\cos \theta) \\ \varphi_2 &= \sum_{l=0}^{\infty} [A_l' r^l + B_l' r^{-(l+1)}] P_l(\cos \theta)\end{aligned}\tag{4.4.19}$$

其中 $\{A_l, A_l', B_l, B_l'\}$ 为一组展开系数，需要由边界条件确定。根据我们上次课对均匀电场中的金属球的问题的求解，我们已有了经验 - 均匀电场的边界条件

(1) 只包含 $l=1$ 项的贡献，因此 (4.4.19) 中只有 $l=1$ 项的系数非 0，故有

$$\begin{aligned}\varphi_1 &= (A_1 r + B_1 r^{-2}) \cos \theta \\ \varphi_2 &= (A_1' r + B_1' r^{-2}) \cos \theta\end{aligned}\tag{4.4.19'}$$

下面我们利用本征函数的正交性对上述论断做严格证明。

对 I 区来讲，边条 (1) 决定了除了 A_1 外所有的 $\{A_l\}$ 均为 0。因 $P_1(\cos \theta) = \cos \theta$ ，易知：

$$A_1 = -E_0; \quad A_l = 0, \quad l \neq 1\tag{4.4.20}$$

对 II 区来讲，边条 (4) 决定了

$$B_l' = 0, \quad l = 0, 1, \dots, \infty\tag{4.4.21}$$

下面考虑边条 (2)。代入可知，

$$\begin{aligned}\sum_{l=0}^{\infty} [A_l R^l + B_l R^{-(l+1)}] P_l(\cos \theta) &= \sum_{l=0}^{\infty} [A_l' R^l + B_l' R^{-(l+1)}] P_l(\cos \theta) \\ \varepsilon_1 \sum_{l=0}^{\infty} [l A_l R^{l-1} - (l+1) B_l R^{-(l+2)}] P_l(\cos \theta) &= \varepsilon_2 \sum_{l=0}^{\infty} [l A_l' R^{l-1} - (l+1) B_l' R^{-(l+2)}] P_l(\cos \theta)\end{aligned}\tag{4.4.22}$$

根据本征函数的正交性，上面 2 式中每个 l 项的系数必须分别相等，即

$$\begin{aligned}A_l R^l + B_l R^{-(l+1)} &= A_l' R^l + B_l' R^{-(l+1)} \\ \varepsilon_1 [l A_l R^{l-1} - (l+1) B_l R^{-(l+2)}] &= \varepsilon_2 [l A_l' R^{l-1} - (l+1) B_l' R^{-(l+2)}]\end{aligned}\tag{4.4.23}$$

对所有 $l \neq 1$ 的项，我们有

$$\left. \begin{aligned}B_l R^{-(l+1)} &= A_l' R^l \\ \varepsilon_1 [-(l+1) B_l R^{-(l+2)}] &= \varepsilon_2 [l A_l' R^{l-1}]\end{aligned} \right\} \Rightarrow \begin{cases} B_l = A_l' R^{(2l+1)} \\ B_l = -A_l' R^{(2l+1)} \frac{l \varepsilon_2}{(l+1) \varepsilon_1} \end{cases}\tag{4.4.24}$$

显然有：

$$A_l' = B_l = 0, \quad l \neq 1\tag{4.4.25}$$

因此只有 $l=1$ 的项有非零解。

代入边条 (1) - (4) 分别可得

$$\begin{cases} A_1 = -E_0 \\ A_1 R + B_1 R^{-2} = A_1' R \\ \varepsilon_1 (A_1 - 2B_1 R^{-3}) = \varepsilon_2 (A_1' - 2B_1' R^{-3}) \\ B_1' = 0 \end{cases} \quad (4.4.26)$$

解之可得

$$\begin{cases} A_1 = -E_0 \\ B_1 = \frac{\varepsilon_2 - \varepsilon_1}{2\varepsilon_1 + \varepsilon_2} E_0 R^3 \\ A_1' = -\frac{3\varepsilon_1}{2\varepsilon_1 + \varepsilon_2} E_0 \\ B_1' = 0 \end{cases}, \quad (4.4.27)$$

故

$$\begin{aligned} \varphi_1 &= -E_0 r \cos \theta + \frac{\varepsilon_2 - \varepsilon_1}{2\varepsilon_1 + \varepsilon_2} R^3 E_0 \frac{1}{r^2} \cos \theta \\ \varphi_2 &= -\frac{3\varepsilon_1}{2\varepsilon_1 + \varepsilon_2} E_0 r \cos \theta \end{aligned} \quad (4.4.28)$$

作如下的讨论:

(1) 上面的结果在极限情形下是正确的: 当 $\varepsilon_2 = \varepsilon_1 = \varepsilon_0$ 时, $\varphi_1 = -Er \cos \theta, \varphi_2 = -Er \cos \theta$, 即空间的电场就是均匀电场。

(2) 球面上的束缚电荷对球外区域的贡献为: $\frac{\varepsilon_2 - \varepsilon_1}{2\varepsilon_1 + \varepsilon_2} R^3 E_0 \frac{1}{r^2} \cos \theta$ 。回想一个偶极子 (偶极矩为 p) 的电势为 $\varphi_p = \frac{\vec{p} \cdot \vec{r}}{4\pi\varepsilon_0 r^3}$, 对比发现这些束缚电荷的贡献相当于一个放在原点的偶极子, 其大小为

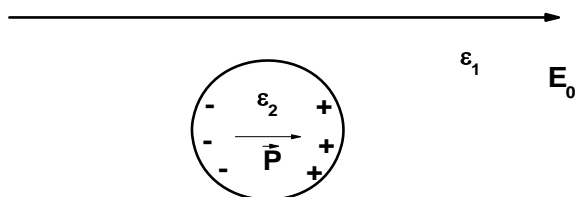
$$\vec{p} = 4\pi\varepsilon_0 \frac{\varepsilon_2 - \varepsilon_1}{2\varepsilon_1 + \varepsilon_2} R^3 \vec{E}_0 \quad (4.4.29)$$

(3) 球内的场为一与外场平行的恒定场:

$$\vec{E}_{\text{内}} = -\frac{\partial \varphi_2}{\partial z} \hat{e}_z = \frac{3\varepsilon_1}{2\varepsilon_1 + \varepsilon_2} \vec{E}_0 \quad (4.4.30)$$

(4) 当 $\varepsilon_2 \rightarrow -\infty$ 时, 介质球内的场为 $\vec{E}_{\text{内}} \rightarrow 0$, 其效果相当于一个导体球。而此时, $\vec{p} = 4\pi\varepsilon_0 R^3 \vec{E}_0$, 也回到上堂课我们求解的导体球的解。其实, 这样的

推论（导体相当于 $\epsilon_2 \rightarrow -\infty$ 的介质）具有普遍意义，后面我们可以严格证明。



下面我们考虑一个简单的情况，即 $\epsilon_1 = \epsilon_0$ （背景介质是空气），此时的物理图像更加清楚。因介质球内的场为均匀场，故整个介质球被均匀极化，极化强度为

$$\vec{P} = \chi \epsilon_0 \vec{E}_{\text{内}} = (\epsilon_2 - \epsilon_0) \frac{3\epsilon_0}{2\epsilon_0 + \epsilon_2} \vec{E}_0 \quad (4.4.31)$$

对比发现，此时极化强度正好就是偶极子电偶极距/体积：

$$\vec{P} = \frac{\vec{p}}{4\pi R^3 / 3} \quad (4.4.32)$$

这当然是合理的，因为极化强度的定义就是 $\vec{P} = \frac{\sum \vec{p}_i}{\Omega}$ 。因 $\epsilon_2 > \epsilon_0$ ，我们发现 $\vec{E}_{\text{内}} < \vec{E}_0$ ，这是因为极化电荷在球内产生了电场抵消了部分外电场的贡献。这部分由极化电荷在球内产生的电场为

$$\vec{E}_{\text{内}} = \vec{E}_{\text{内}} - \vec{E}_0 = -\frac{\epsilon_2 - \epsilon_0}{2\epsilon_0 + \epsilon_2} \vec{E}_0 = -\frac{1}{3\epsilon_0} \vec{P} \quad (4.4.33)$$

这个场通常被称为“退极场”- 由于极化产生的极化电荷产生的场，其作用是“退”掉外场的作用。整理后的结果为：

$$\vec{E}_{\text{内}} = \vec{E}_0 - \frac{1}{3\epsilon_0} \vec{P} \quad (4.4.34)$$

上面 2 式在很多情况下成立的，一般来说，退极场可以写成

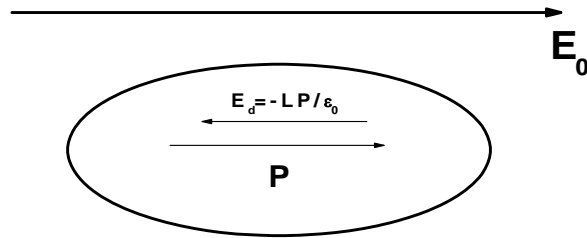
$$\vec{E}_{\text{退}} = -L \cdot \vec{P} / \epsilon_0 \quad (4.4.35)$$

L 称为退极化因子，只依赖于物体的几何形状，其越大，说明退极效应越显著。

容易证明：对平板 $L=1$ ，对球 $L=\frac{1}{3}$ ，对细针， $L=0$ ，对椭球，针对长短轴的不同，L 可以由 0~1 不等。总结下来，介质在外场下的静电行为是

- 被外场极化
- 极化电荷在球外的贡献为偶极子

- 在球内的贡献为均匀电场 - 退极场 (depolarization field)



思考题:

- (1) 若外部介质不是空气, 而是具有介电常数 ϵ_1 的某种电介质, 极化强度 P 是多少? (4.4.32) 是否仍然成立? 若不成立, 为什么?
- (2) 有兴趣的同学请找文献查一查椭球体的“退极因子”的推导

下面研究一个 2 维柱坐标问题。

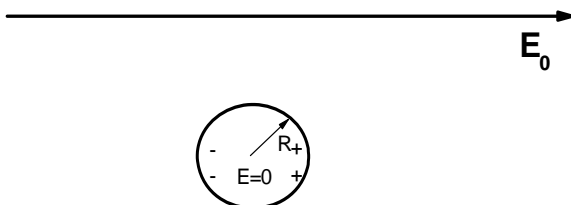
[例 7] 在均匀外电场 $\vec{E} = E_0 \hat{x}$ 中有一半径为 R 、电荷线密度为 λ 的无限长导体圆柱。柱轴与外场垂直, 求空间中的电场分布。

解: 柱内区域的场为零, 只需考虑柱外区域的电势, 其满足方程

$$\nabla^2 \varphi = 0 \quad (4.4.36)$$

边界条件为

$$\begin{cases} \vec{E}_{\rho \rightarrow \infty} = E_0 \hat{x}; & (1) \\ \varphi|_{\rho=R} = \text{常数}; & (2) \\ \oint \frac{\partial \varphi}{\partial \rho} \Big|_{\rho=R} dS = -\lambda/\epsilon_0 & (3) \end{cases} \quad (4.4.37)$$



第一个边条值得讨论一下。处理均匀外场中的散射体的问题时, 如果散射体是三维物体 (如球), 则任何感应 (极化) 电荷均在空间局域, 因此在无穷远处, 它们对场或者势的贡献都趋向于 0, 此时我们可以将边条 (1) 进一步改写成 $\varphi|_{r \rightarrow \infty} = -\vec{E} \cdot \vec{r}$ 。然而处理 2 维问题 (如

无限长柱子) 时, 感应(极化) 电荷会出现在无穷远处, 它们对电势的贡献不趋向于 0! 幸运的是, 此时, 它们对电场的贡献 $\sim 1/\rho$, 故对电场的贡献仍趋于 0。处理无限大平面问题时这个问题更严重 - 感应(极化) 电荷沿着 2 个方向散布到无限远, 故电场、电势均不趋向于 0! 不过通常 1 维问题根本无须这样求解。

此问题为与 z 无关的柱对称问题, 故可以利用相应问题的本征函数展开

$$\varphi = A_0 + B_0 \ln \rho + \sum_{n=1}^{\infty} (A_n \rho^n + B_n \rho^{-n}) \cos(n\phi) + \sum_{n=1}^{\infty} (C_n \rho^n + D_n \rho^{-n}) \sin(n\phi)$$

注意到 $\vec{E} = -\nabla\varphi = -\frac{\partial\varphi}{\partial\rho}\hat{e}_\rho - \frac{1}{\rho}\frac{\partial\varphi}{\partial\phi}\hat{e}_\phi$, 电场中 ρ 的阶数比电势中的低一阶。边条(1)

显示势函数中所有比 ρ^1 发散快的项都不可以保留, 故

$$A_n = C_n = 0, \quad n > 1 \quad (4.4.38)$$

进一步利用边条 (1) 比较系数

$$E_\rho|_{\rho \rightarrow \infty} = -\frac{\partial\varphi}{\partial\rho} = -A_1 \cos\phi - C_1 \sin\phi = E_0 \cos\phi \quad (4.4.39)$$

因为 $\sin\phi$ 与 $\cos\phi$ 正交, 可得

$$A_1 = -E_0, \quad C_1 = 0 \quad (4.4.40)$$

考虑边条 (2), 因 $\varphi|_{\rho=R}$ 应与 θ 无关, 故有

$$\left. \begin{aligned} A_n R^n + B_n R^{-n} &= 0 \\ C_n R^n + D_n R^{-n} &= 0 \end{aligned} \right\} \Rightarrow \begin{cases} B_n = 0, n > 1; & B_1 = E_0 R^2 \\ & D_n = 0 \end{cases} \quad (4.4.41)$$

现考虑边条 (3), 积分过程中所有的 $n > 1$ 的项都没有贡献 (因为与角度有关),

只有 A_0, B_0 两项留下来。最后结果为:

$$B_0 \frac{1}{R} 2\pi R = -\lambda \Rightarrow B_0 = -\frac{\lambda}{2\pi\epsilon_0} \quad (4.4.42)$$

A_0 为一常数, 不能唯一确定。总结下来, 最终的电势为

$$\varphi = A_0 - \frac{\lambda}{2\pi\epsilon_0} \ln \rho - E_0 \rho \cos\phi + \frac{E_0 R^2}{\rho} \cos\phi \quad (4.4.43)$$

由 (4.4.43) 式我们明白, 空间电势由三部分贡献叠加而成: 外场, 无限长带电导体棒, 以及一个 2 维偶极子 ($\vec{p} = 2\pi\epsilon_0 E_0 R^2$, 参考补充题)。柱外电场强度为

$$\vec{E} = \left(\frac{\lambda}{2\pi\epsilon_0} \frac{1}{\rho} + E_0 \cos\phi + \frac{E_0 R^2}{\rho^2} \cos\phi \right) \hat{e}_\rho + \left(-E_0 \sin\phi + \frac{E_0 R^2}{\rho^2} \sin\phi \right) \hat{e}_\phi \quad (4.4.44)$$

注：由这个问题的求解我们又一次发现一个规律，即均匀外电场下我们只需要考虑 $l=1$ 项的贡献。这里的物理是均匀电场只包含 $l=1$ 项，因此不会激发其他 l 项的贡献（因为不同 l 的本征函数是正交的）

§ 4.5 多极矩法

在实际工作中常会碰到这种情况：激发电场的电荷全部集中在一个很小的区域，而我们要求的又是远离带电体空间的电场，这时我们可采用多极矩近似法。

如图 4.10，若电荷分布在有限体积 V 内，电荷密度为 $\rho(\vec{r}')$ ，这个体积的线度为 l ，考查的是 P 点的电场，而 P 点和体积 V 内任一点 O 的距离为 \vec{r} 。多极矩法是讨论在 $|\vec{r}| \gg l$ 情况下的场分布。 P 点电势的准确解的形式为

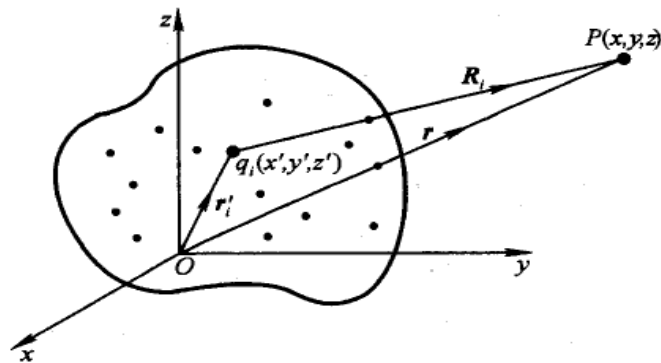


图 4.10

$$\varphi(\vec{r}) = \frac{1}{4\pi\epsilon_0} \int \frac{\rho(\vec{r}') d\tau'}{R} \quad (4.5.1)$$

这里， $\vec{R} = \vec{r} - \vec{r}'$ 。由于 P 点离源较远，有 $r' \ll r$ ，因此作为 \vec{r}' 的函数 $\frac{1}{R}$ 可以在 $\vec{r}' = 0$ 附近作 Taylor 展开：

$$\begin{aligned} \frac{1}{R} &= \frac{1}{r} - \sum_{i=x,y,z} r'_i \cdot \frac{\partial}{\partial r_i} \left(\frac{1}{R} \right) \Big|_{\vec{r}'=0} + \frac{1}{2} \sum_{i,j=x,y,z} r'_i r'_j \frac{\partial^2}{\partial r_i \partial r_j} \left(\frac{1}{R} \right) \Big|_{\vec{r}'=0} + \dots \\ &= \frac{1}{r} - \sum_{i=x,y,z} r'_i \cdot \frac{\partial}{\partial r_i} \left(\frac{1}{r} \right) \Big|_{\vec{r}'=0} + \frac{1}{2} \sum_{i,j=x,y,z} r'_i r'_j \frac{\partial^2}{\partial r_i \partial r_j} \left(\frac{1}{r} \right) \Big|_{\vec{r}'=0} + \dots \end{aligned} \quad (4.5.2)$$

上式可以写成更紧凑的数学上完全等价的矢量（并矢）的形式：

$$\frac{1}{R} = \frac{1}{r} - \vec{r}' \cdot \nabla \frac{1}{r} + \frac{1}{2} \vec{r}' \vec{r}' : \nabla \nabla \frac{1}{r} + \dots \quad (4.5.2')$$

习题：

P. 115, 4.2, 4.5, 4.6, 4.7

补充题

(1) 考虑两个距离为 d 的线电荷密度为 $\pm\lambda$ 的无限长带电棒组成的体系，计算其在远场的电势表达式。